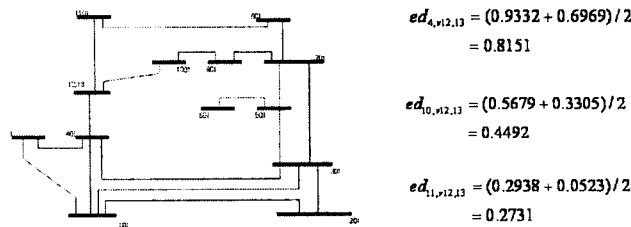


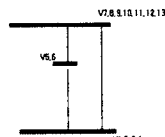
시험 계통은 IEEE 14 모선을 사용하였다.

파이션을 이용해서 <그림2>와 같은 전기 적인 거리 맵을 구한다.



<그림 3> 새로운 전기적인 거리

전기 적인 거리 맵에서 모선과의 거리가 가장 가까운 두 모선 12, 13모선을 병합함으로써 새로운 가상 모선을 만들고 이 가상 모선과 연계된 모선의 전기 적인 거리를 새롭게 구 할 수 있다.
이를 반복하여, <그림4> 와 같이 3개의 모선으로 계통이 병합 되었다.



<그림 4> 최종 병합된 모선

다음 표(표1)는 3개의 영역으로 계통이 분리된 후 한 영역(Areal)의 pilot bus를 구한 표이다.

<표1> Area1의 pilot bus

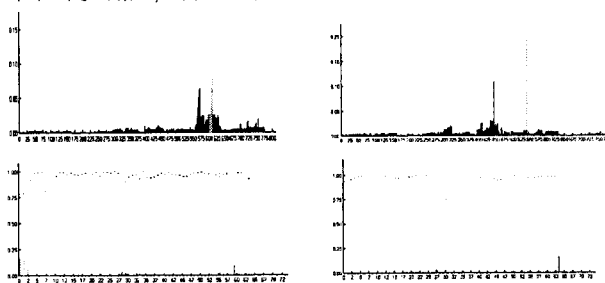
Pilot Bus Selection for Control Area 1

k	1	2	3	4
$\min \sum_{i \in S} ed_{i,k}$	1.8161	2.0843	1.8078	2.5878

이렇게, 구분된 영역에서의 각 영역별 pilot bus를 구하면 3, 5, 13 모선이 각 영역의 pilot bus 임을 확인 할 수 있다.

2.2.2 시뮬레이션 결과

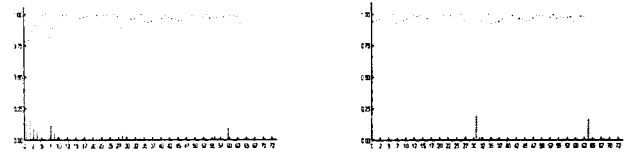
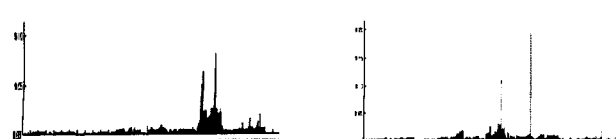
지금 까지 방법으로 작성된 파이션 알고리즘으로 분할된 영역 문제점을 확인하기 위해, 조금 더 큰 모선, IEEE 118모선 과 한전 테이터에 적용하였고, 다음 그레프는 그 결과들이다.



<그림5> 한전 모선(상), 118모선(하)

위 결과에서, 색깔 있는 부분이 구분된 영역을 나타내는데, 모선 이상 시, 구분된 영역의 문제점을 확인 할 수 있다.

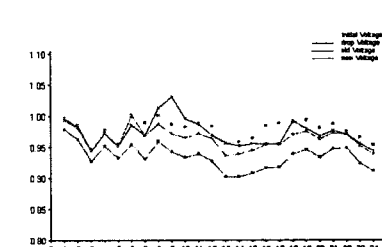
다음 그레프는 이 문제점을 보완한 결과들이다.



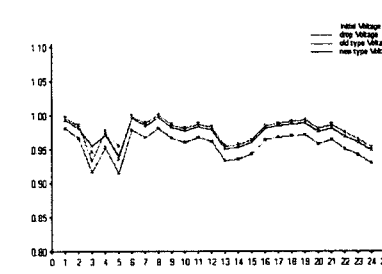
<그림6>한전 모선(상), 118모선(하)

다음 결과(그림7)는 기존의 방법으로 구한 pilot bus 와 보완한 방법으로 구한 pilot bus에 무효 전력 보상 장치 설치 후, 무효 전력을 조정 했을 때 전압 변화를 확인하기 위해, 7번 모선(상)과 22번 모선(하)에 모선 이상을 주었다. 그리고 기존 방법과 보완된 방법으로 무효전력을 조정 하였고, 그 결과를 나타 낸 것이다.

시험 계통은 IEEE 30모선으로 하였다.



bus	drop	old	new
3	0.9789	0.9996	0.9926
4	0.9612	0.9787	0.9811
5	0.9261	0.9418	0.9421
6	0.9497	0.9705	0.9707
7	0.9348	0.9628	0.9498
9	0.9521	0.9921	0.9924
10	0.9294	0.9673	0.9566
12	0.9568	0.9845	0.0104
14	0.9400	0.9592	0.0281
15	0.9480	0.9625	0.0253
16	0.9273	0.9696	0.9844
17	0.9206	0.9349	0.9563
18	0.9489	0.9850	0.9850
19	0.9529	0.9433	0.9524
20	0.9059	0.9522	0.9531
21	0.9153	0.9522	0.9536
22	0.9159	0.9522	0.9536
23	0.9236	0.9725	0.9780
25	0.9142	0.9705	0.9780
26	0.9317	0.9604	0.9652
27	0.9447	0.9705	0.9742
28	0.9459	0.9674	0.9682
29	0.9403	0.9624	0.9623
30	0.9188	0.9373	0.9411



bus	drop	old	new
3	0.9789	0.0013	0.9968
4	0.9568	0.9407	0.9515
5	0.9540	0.9404	0.9774
6	0.9514	0.9863	0.9777
7	0.9135	0.9443	0.9545
9	0.9762	1.0032	0.9981
10	0.9589	0.0057	0.9850
12	0.9780	0.0057	0.9809
14	0.9611	0.9931	0.9871
15	0.9586	0.9879	0.9818
16	0.9651	0.9942	0.9882
17	0.9607	0.9851	0.9857
18	0.9338	0.9638	0.9577
20	0.9417	0.9708	0.9647
21	0.9617	0.9910	0.9850
22	0.9680	0.9974	0.9913
23	0.9688	0.9974	0.9913
25	0.9688	1.0006	0.9934
26	0.9565	0.9888	0.9818
27	0.9611	0.9947	0.9869
28	0.9611	0.9947	0.9869
29	0.9403	0.9742	0.9653
30	0.9298	0.9624	0.9544

<그림7> 무효 전력 조정 후 결과

3. 결 론

기존의 시스템 분할 방법이 영역 간 상호 작용을 최소화 하여 영역 구분을 하였지만, 실질적으로 모선 이상이 생겼을 때 인접해 있는 영역내의 모선에 더 큰 영향을 줌으로써 영역 분할 방법에 문제가 있는 것을 확인 할 수 있다.

본 논문에서는 이러한 문제점을, IEEE 14모선, IEEE30 모선, IEEE 118 모선, 한전 모선 등을 파이션을 이용하여 PSS/E에서 시험 계통을 적용 하였으며, 그 결과 상호 작용으로 인해 발생 하는 문제점을 확인 하였다. 그리고 이러한 문제점을 개선 할 수 있는 방법을 제시 하여, 시험 계통에 적용해 봄으로써, 상호 작용을 고려했음에도 불구하고 제시한 방법이 기존의 분할 방법 보다 좀 더 향상됨을 확인 할 수 있었다.

[참 고 문 헌]

- [1] Lagonotte, P., Sabonnadiere, J.C., Leost, J.-Y., Paul, J.-P., "Structural Analysis of the Electrical System: Application to Secondary Voltage Control in France" IEEE Transactions on Power Systems, Vol.4, No.2, pp. 479~486, May 1989.
- [2] J.S. Thorp, M.Ilic-spong, " Optimal secondary voltage var control using pilot point information structure ", IEEE CDC, Las Vegas, December, 1984.
- [3] Paul, J. P., Leost, J. Y., Tesseron, J. M., " Survey of the Secondary Voltage Control in France: Present Realization and Investigations," IEEE Transactions on Power Systems, Vol.2, No.2, pp. 505~511, May 1987
- [4] Stankovic, A., Ilic, M., Maratukulam, D. " Recent Results in Secondary Voltage Control of power Systems," IEEE Transactions on Power Systems, Vol. 6, No.1, pp. 94~101, February 1991